Oct 6, 2025, CPS seminar

 原始太陽系円盤におけるコンドルールの

 時空間分布

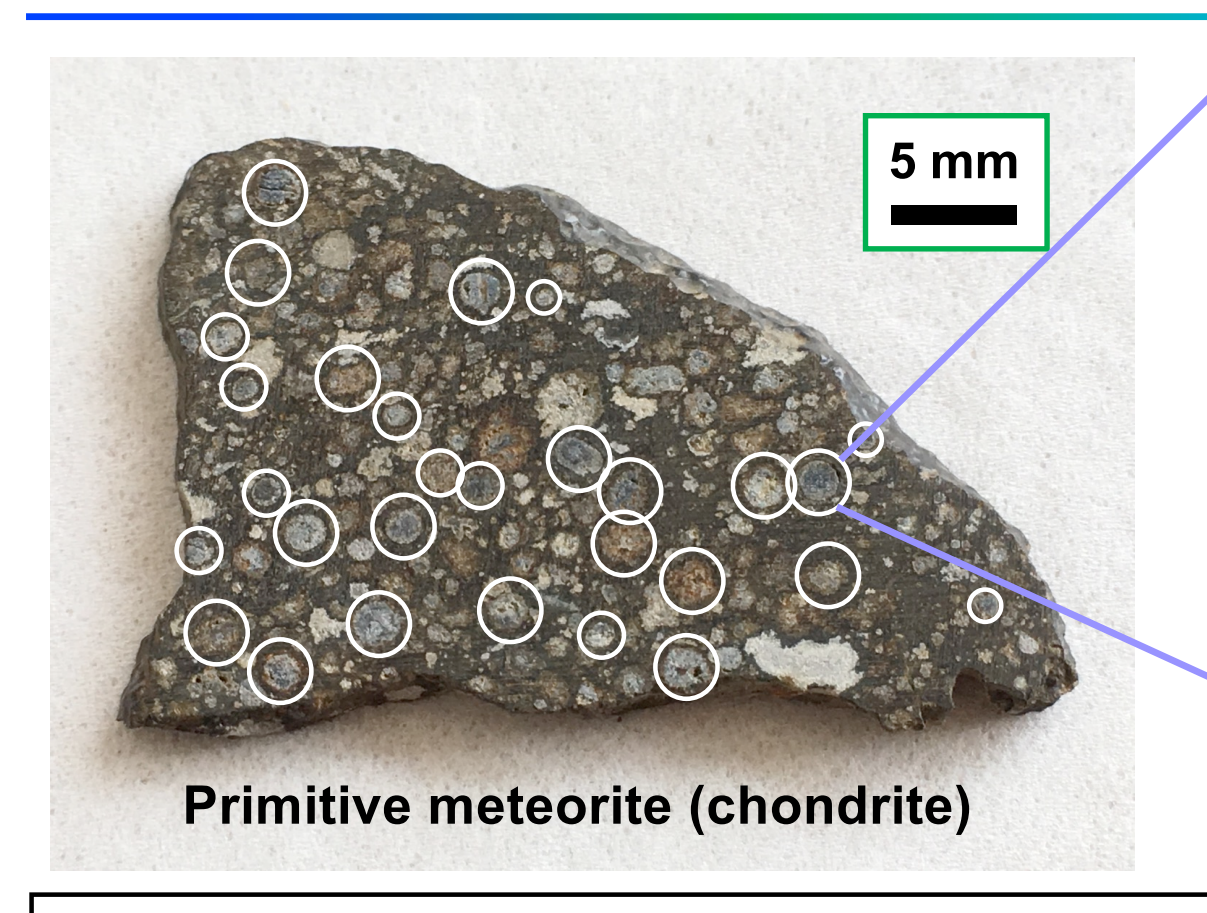
## 福田航平

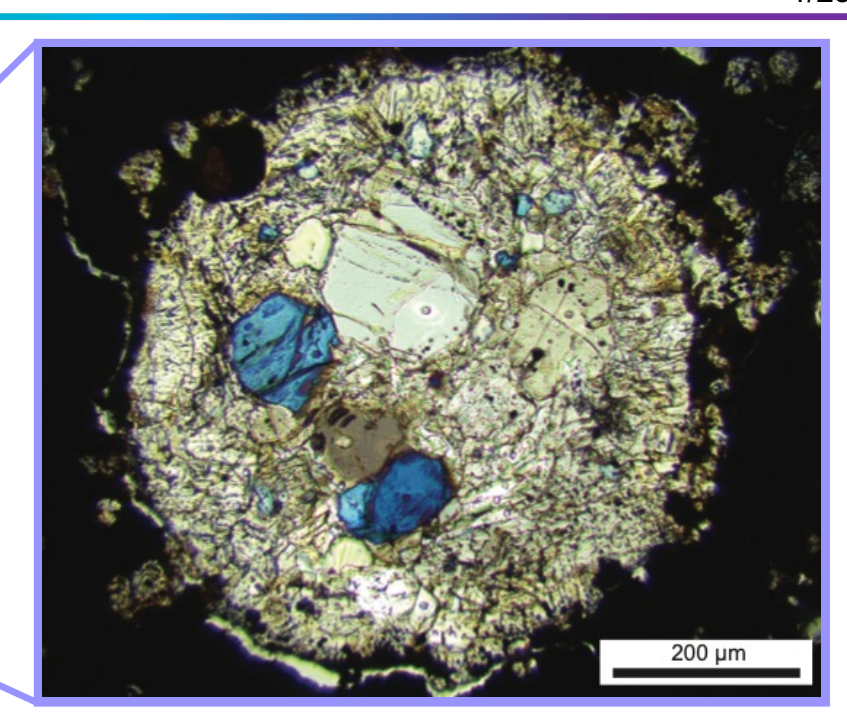
大阪大学大学院理学研究科

1 mm

Image Credit: Tim Gregory

### コンドルール: 微惑星の種





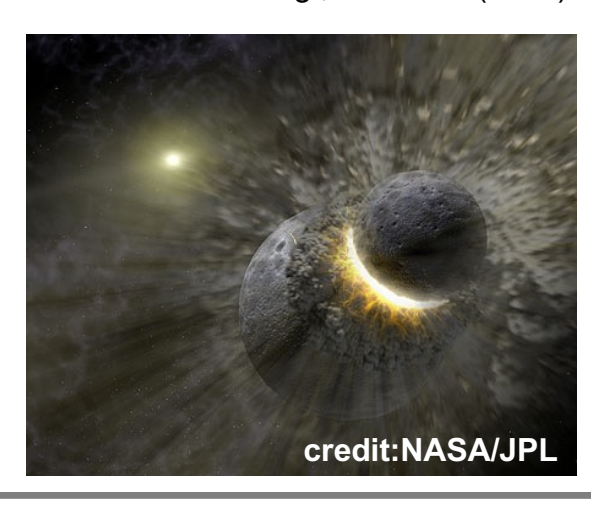
- サブmmのケイ酸塩球粒
- 前駆ダストの急加熱・急冷により形成

微惑星形成以前の原始太陽系円盤環境を記録する物質

## コンドルール形成モデル

#### 微惑星の衝突

e.g., Johnson+(2015) Nature

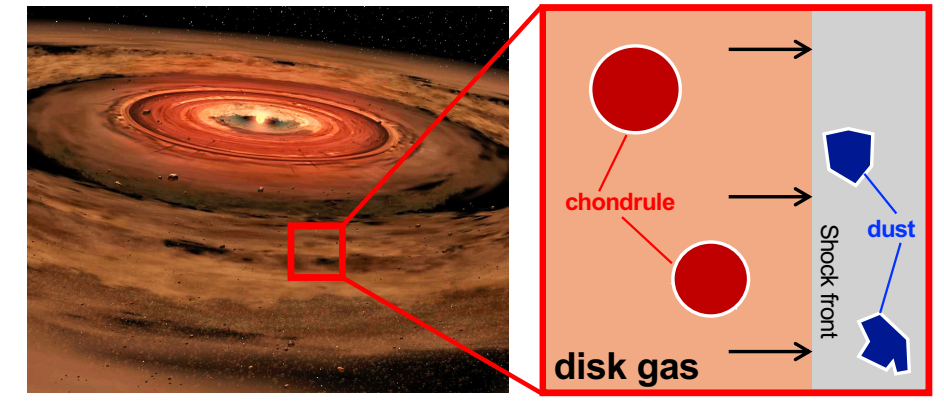


雷加熱

e.g., Kaneko+(2023) *ApJ* 

## 衝撃波加熱

e.g., Desch+(2012) *MAPS* 



衝撃波の起源

- 重量不安定
- 微惑星によるバウショック

コンドルールの時空間分布を明らかにできれば、 巨大惑星形成時期や微惑星の分布、ダスト密度分布の理解に繋がる

#### **Outline**

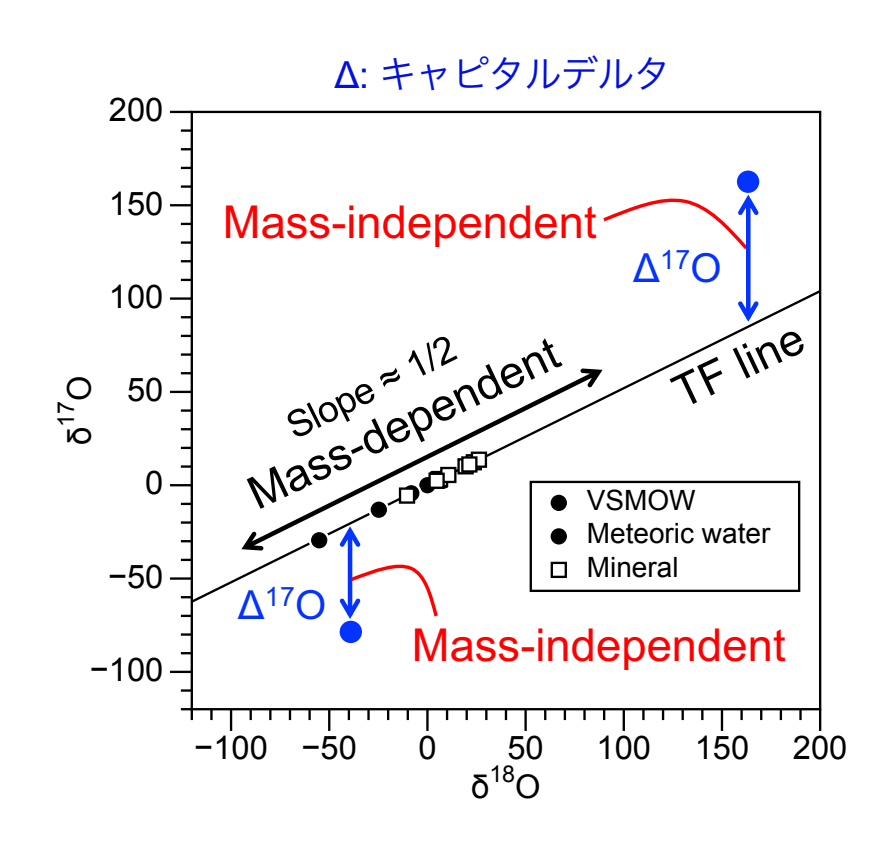
1. コンドルールの形成領域: 安定同位体比からの示唆

2. コンドルールの形成年代: AI-Mg年代からの制約

3. コンドルール形成と母天体集積の関連

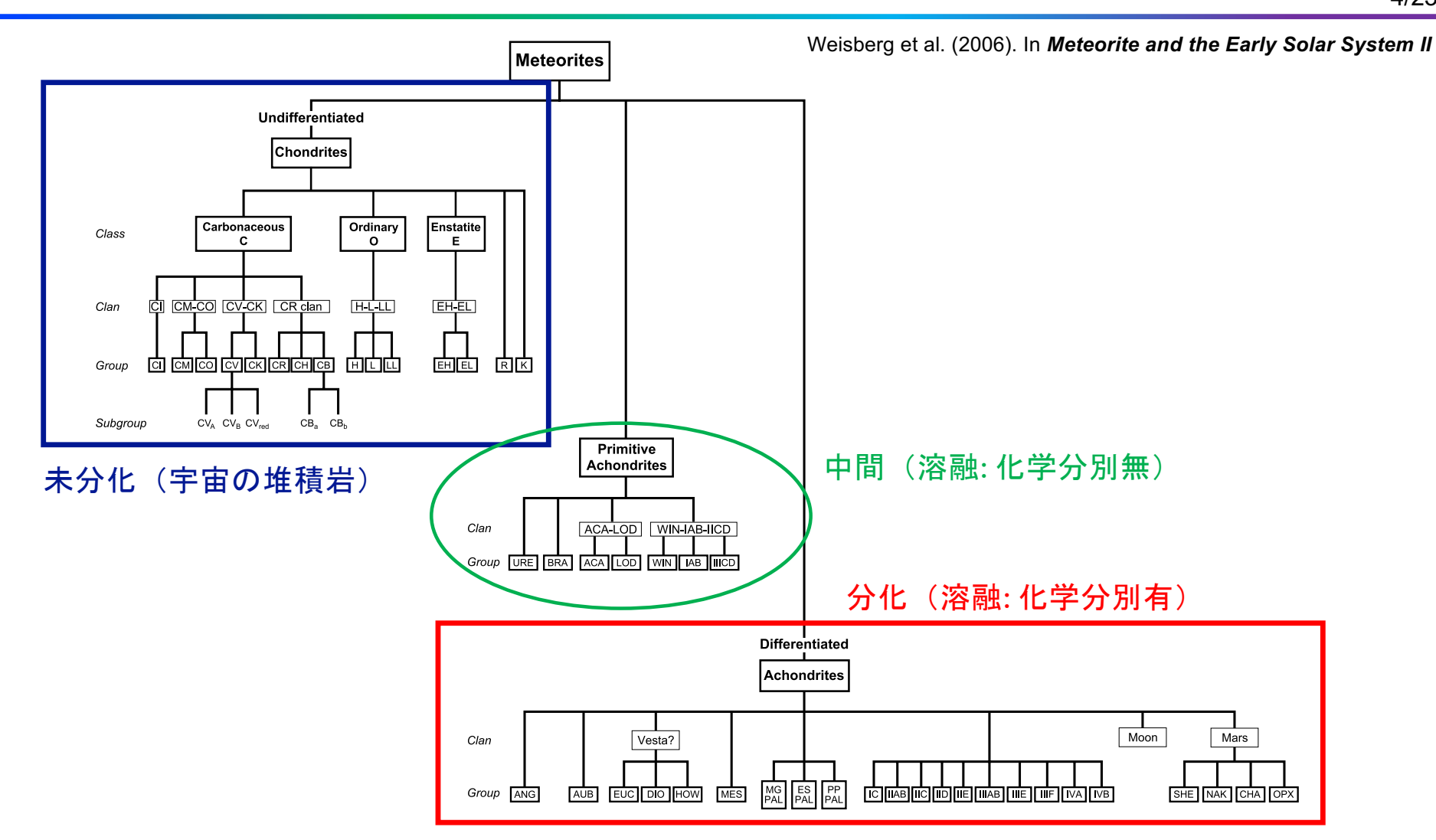
### 同位体比の変動要因

- □ 質量依存同位体分別
  - **動的同位体分別:** 非可逆反応 (蒸発、凝縮)
  - **平衡同位体分別:** 可逆反応 (化学平衡)
- □ 非質量依存同位体変動
  - 光化学反応 Δ<sup>17</sup>O (= δ<sup>17</sup>O 0.52 × δ<sup>18</sup>O)
  - 核合成起源同位体異常 e.g., ε<sup>50</sup>Ti, ε<sup>54</sup>Cr
  - 放射壊変  $\delta^{26}\mathrm{Mg}^*$  (  $^{26}\mathrm{Al} \rightarrow ^{26}\mathrm{Mg} + \mathrm{e}^+ + v_\mathrm{e}$  )
  - 宇宙線との相互作用 (核破砕、中性子捕獲)
     ¹6O + cosmic ray → ¹0Be + .....

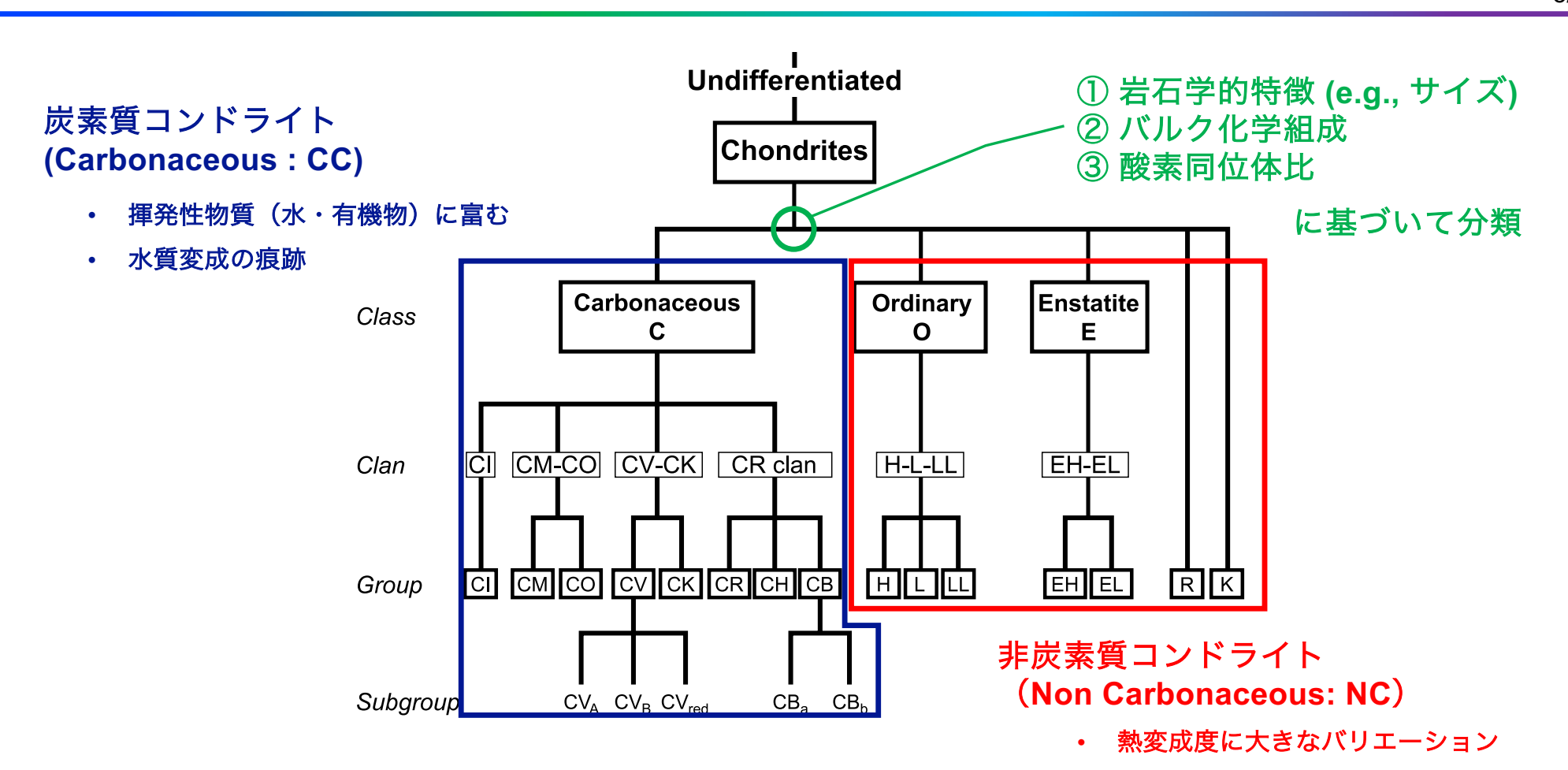


地球物質の三酸素同位体図

### 隕石の分類



#### コンドライトの分類



Weisberg et al. (2006). In Meteorite and the Early Solar System II

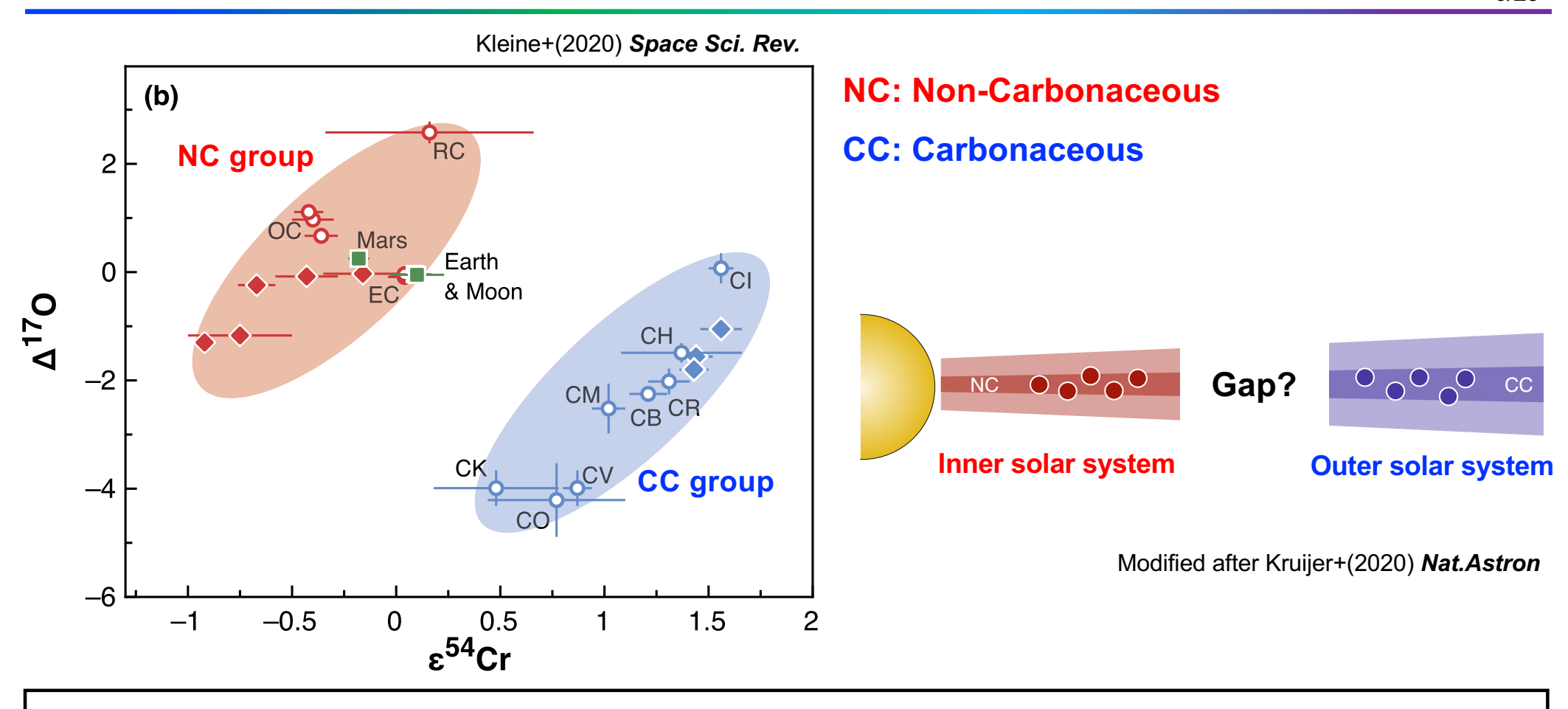
#### **Outline**

1. コンドルールの形成領域: 安定同位体比からの示唆

2. コンドルールの形成年代: AI-Mg年代からの制約

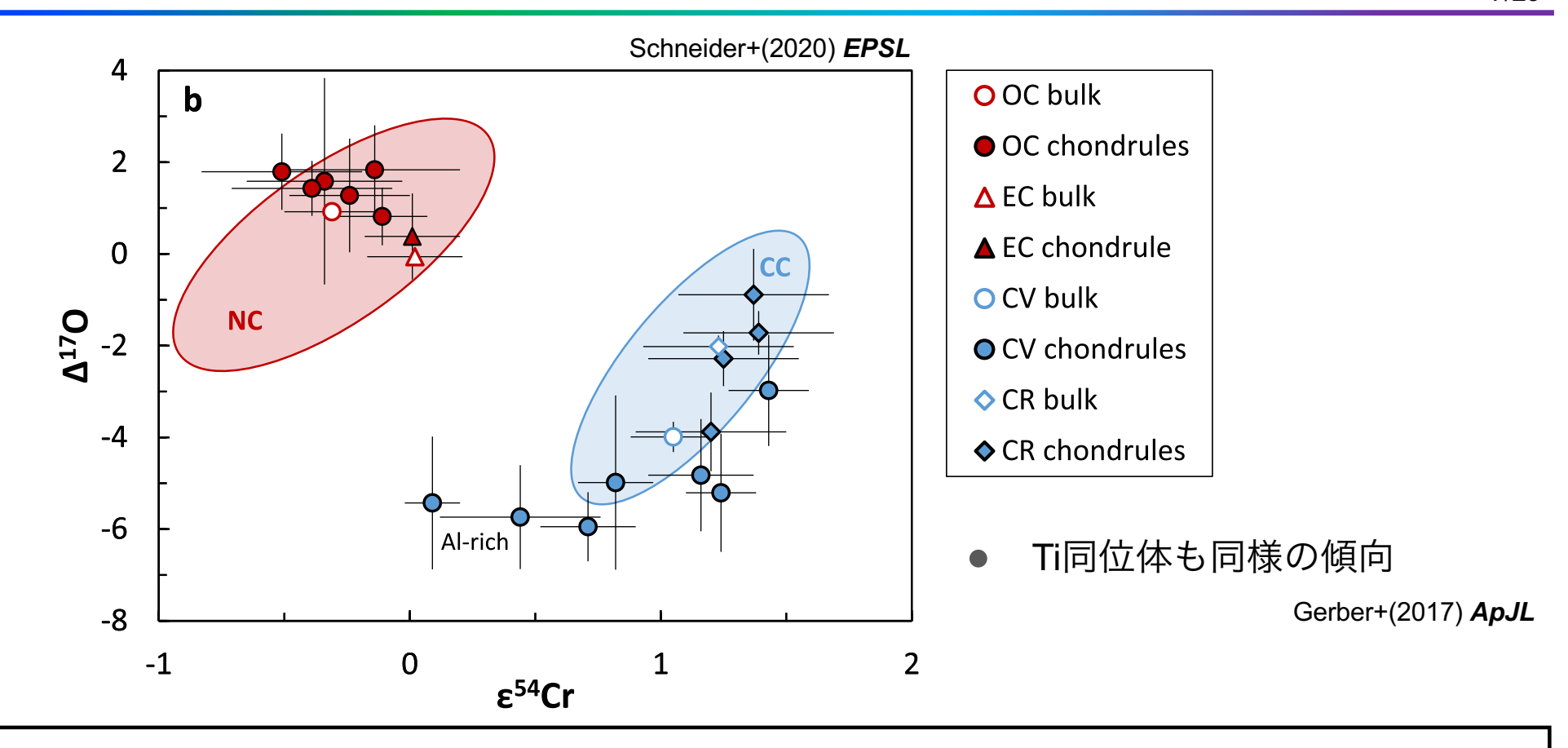
3. コンドルール形成と母天体集積の関連

## 隕石全岩の同位体異常(同位体二分性)



NCグループは内側太陽系、CCグループは外側太陽系で形成

#### コンドルールの同位体異常

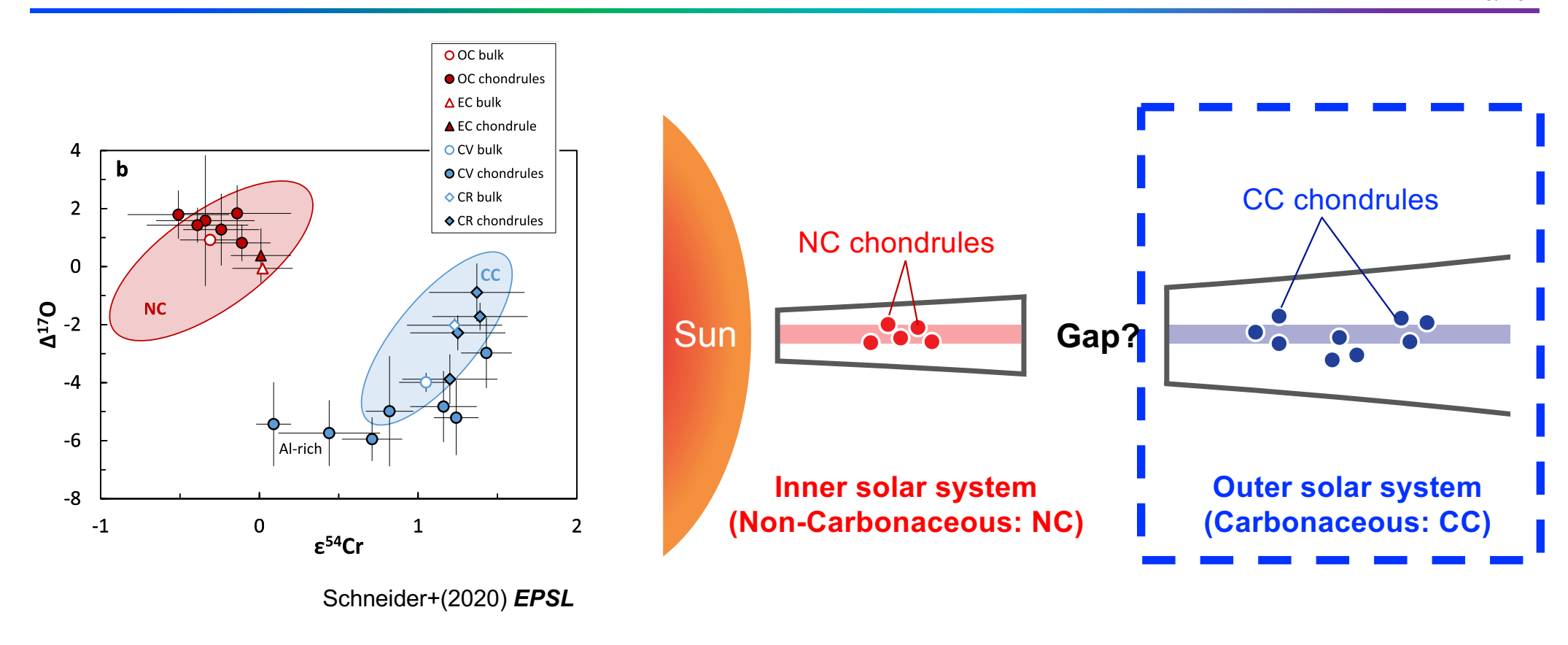


NCグループとCCグループ間で異なる同位体組成を示す

※ 例外あり (Williams+2020 PNAS; Fukuda+2024 MAPS)

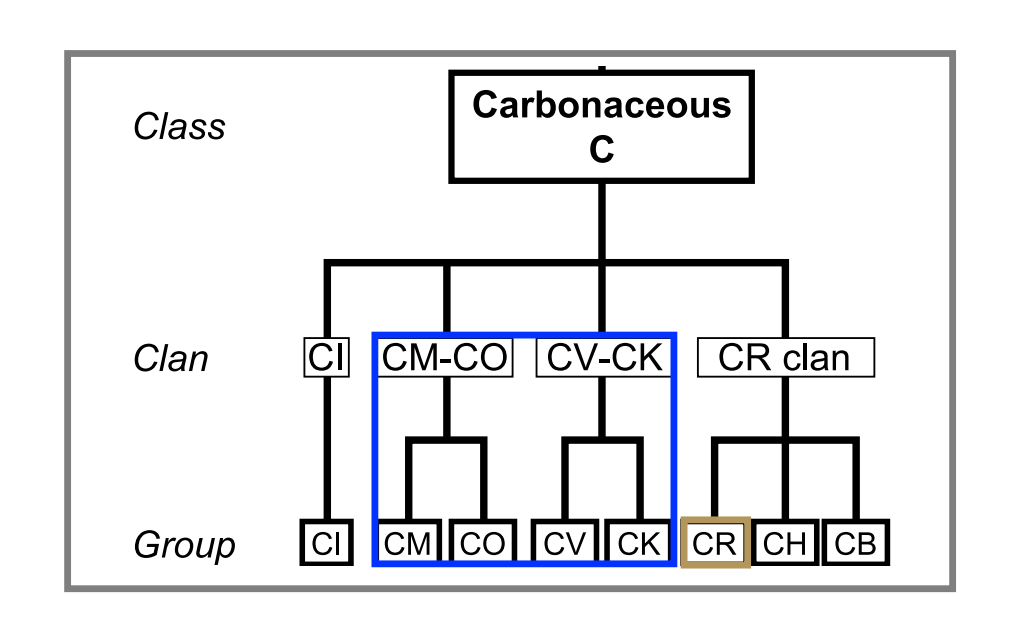
## コンドルールの形成領域: 安定同位体比からの示唆

8/23

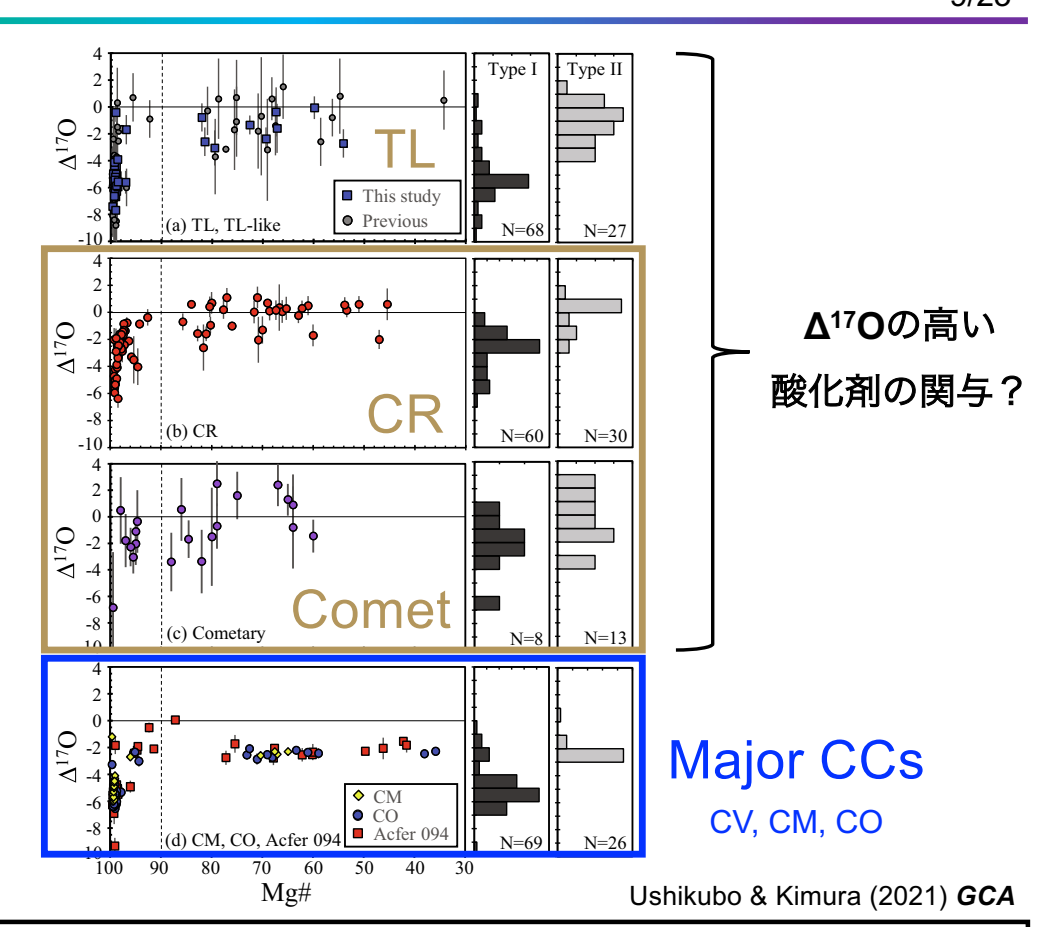


NCコンドルールは内側太陽系、CCコンドルールは外側太陽系で形成

Gerber+(2017) ApJL; Schneider+(2020) EPSL



Cr-Mg同位体システムもCRコンドルールの 遠方形成を示唆 Van Kooten+(2016) PNAS

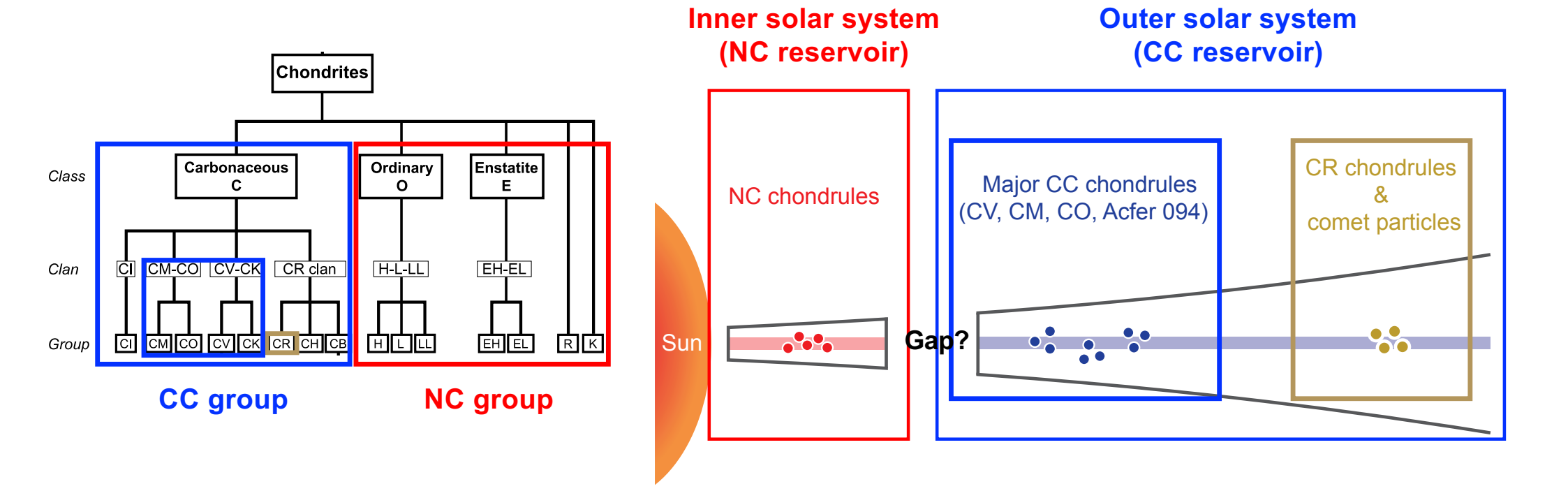


CRコンドルールや彗星粒子は主要なCCコンドルールよりも遠方で形成

e.g., Nakashima+(2012) EPSL; Zhang+(2024) GCA

## コンドルールの形成領域:安定同位体比からの示唆。

10/23



#### **Outline**

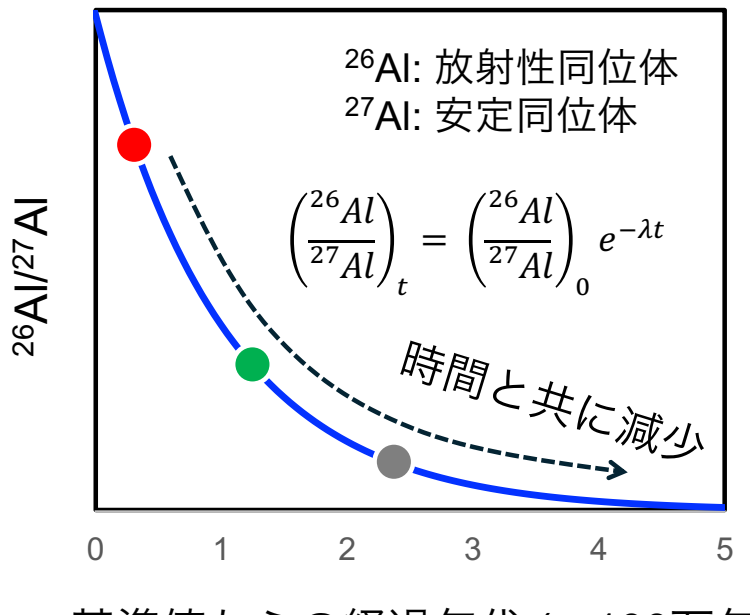
1. コンドルールの形成領域: 安定同位体比からの示唆

2. コンドルールの形成年代: Al-Mg年代からの制約

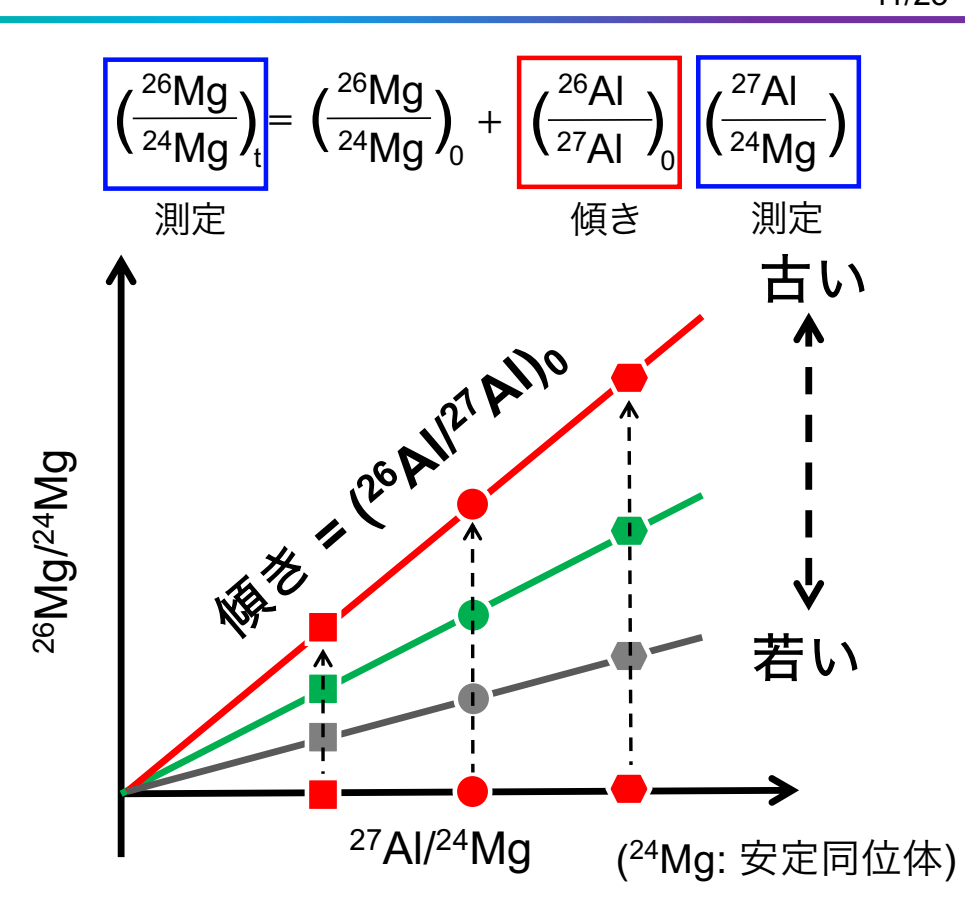
3. コンドルール形成と母天体集積の関連

## <sup>26</sup>AI-<sup>26</sup>Mg年代測定法

 $^{26}AI \rightarrow ^{26}Mg + e^+ + v_e$ (半減期70.5万年)



基準値からの経過年代 (× 100万年)



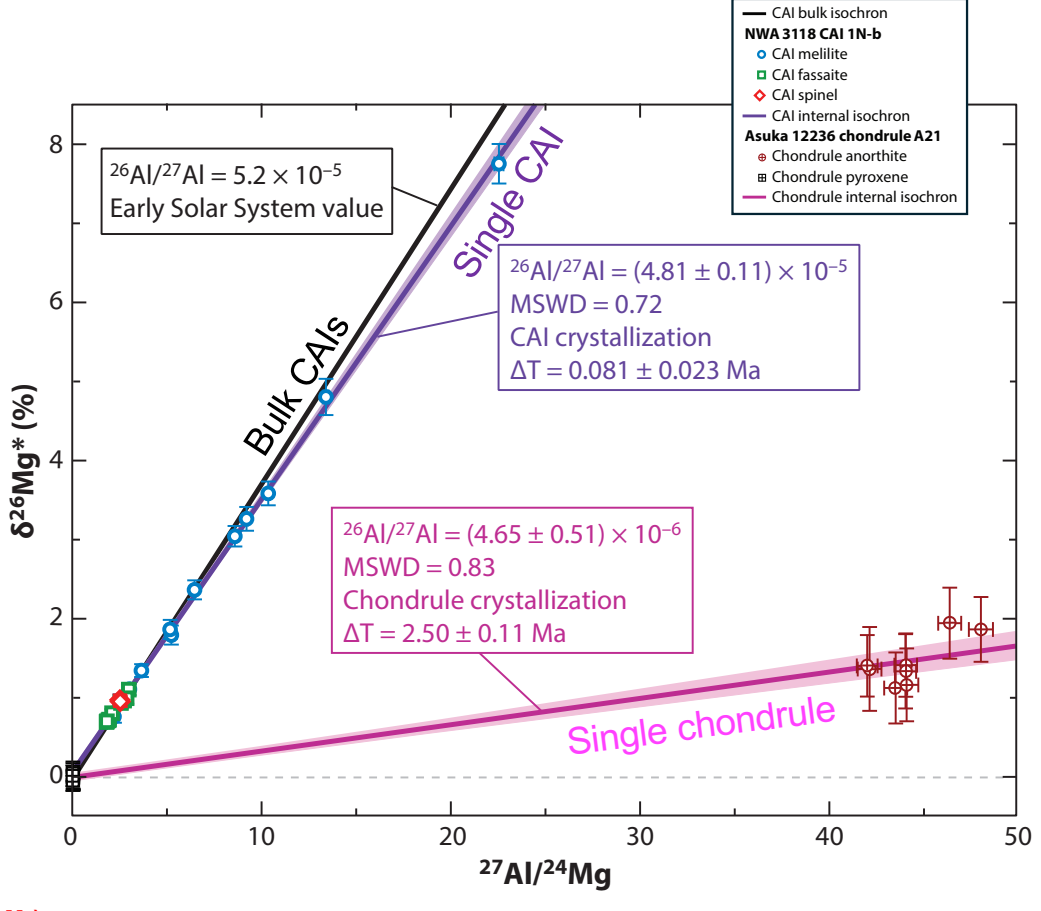
<sup>26</sup>AI: 短寿命 & 太陽系の主要元素のひとつ → 応用範囲が広い

### 相対年代値の算出

$$\Delta t_{CAI}(Ma) = \ln \left[ \frac{(^{26}\text{Al}/^{27}\text{Al})_{0, Sample}}{(^{26}\text{Al}/^{27}\text{Al})_{0, CAI}} \right] \times \frac{0.705}{\ln 2}$$

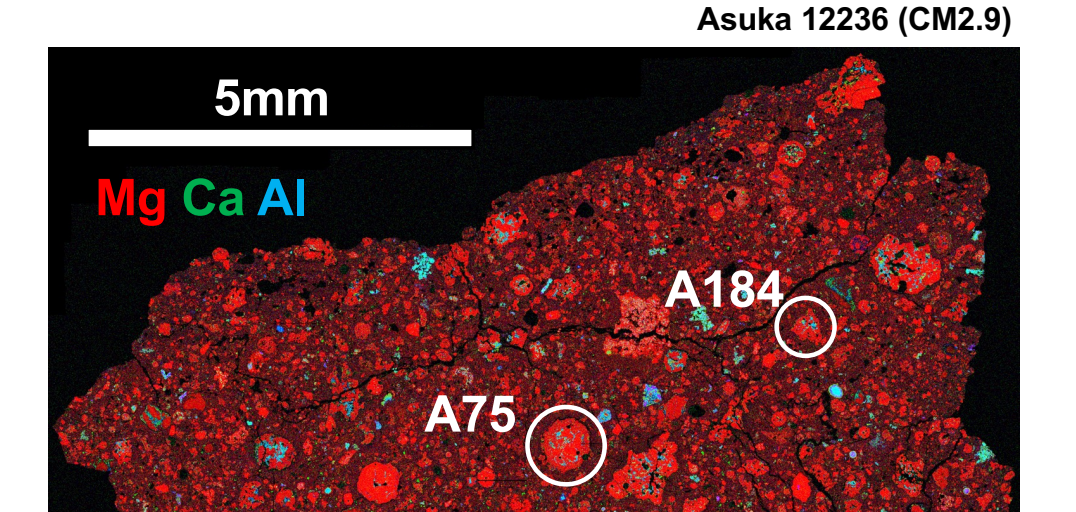
- □ Ca-Al-rich Inclusion (CAI): 凝縮温度の 高い鉱物から成る
  - → 星雲ガスからの初期凝縮物
    - ※ 凝縮後溶融したものもある
- □ (<sup>26</sup>AI/<sup>27</sup>AI) の変動要因が放射壊変にのみ 依存するという前提が必要
  - → CAI形成時点で<mark>原始太陽系円盤において (<sup>26</sup>AI/<sup>27</sup>AI) が均一であったことを仮定</mark>





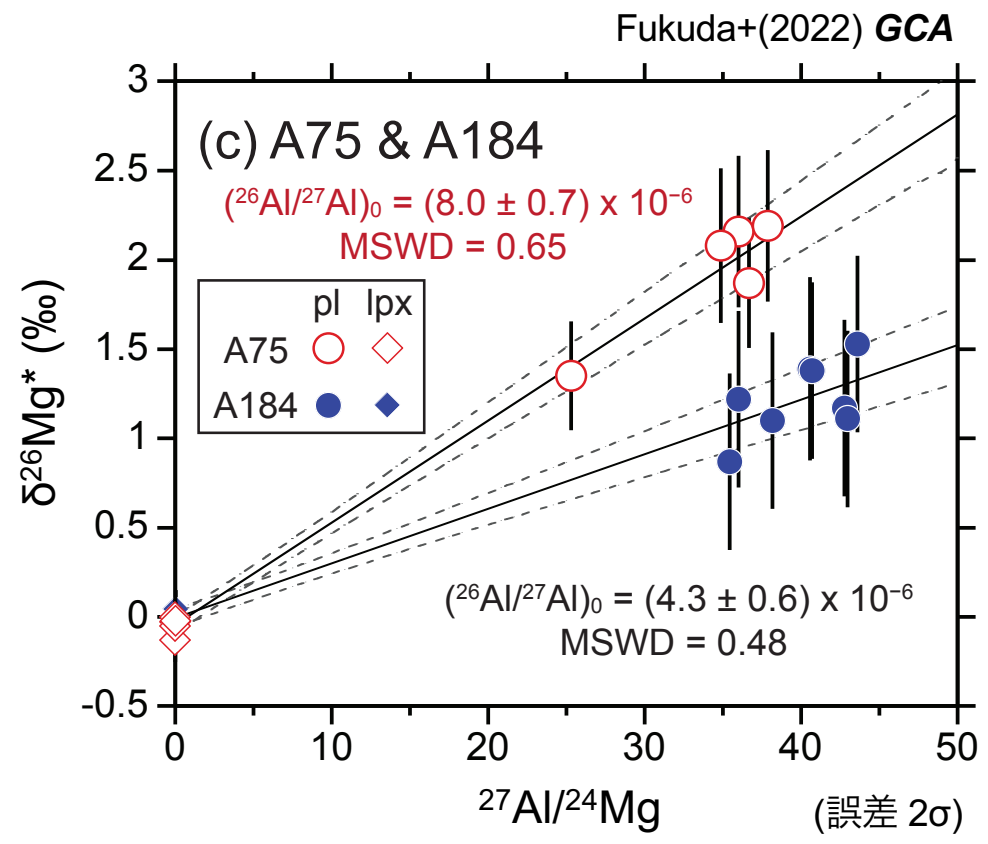
Davis+(2022) Anu. Rev. Nucl. Par.

### コンドルールの26AI-26Mg年代測定例



A75: CAI形成後~192 ± 9 万年

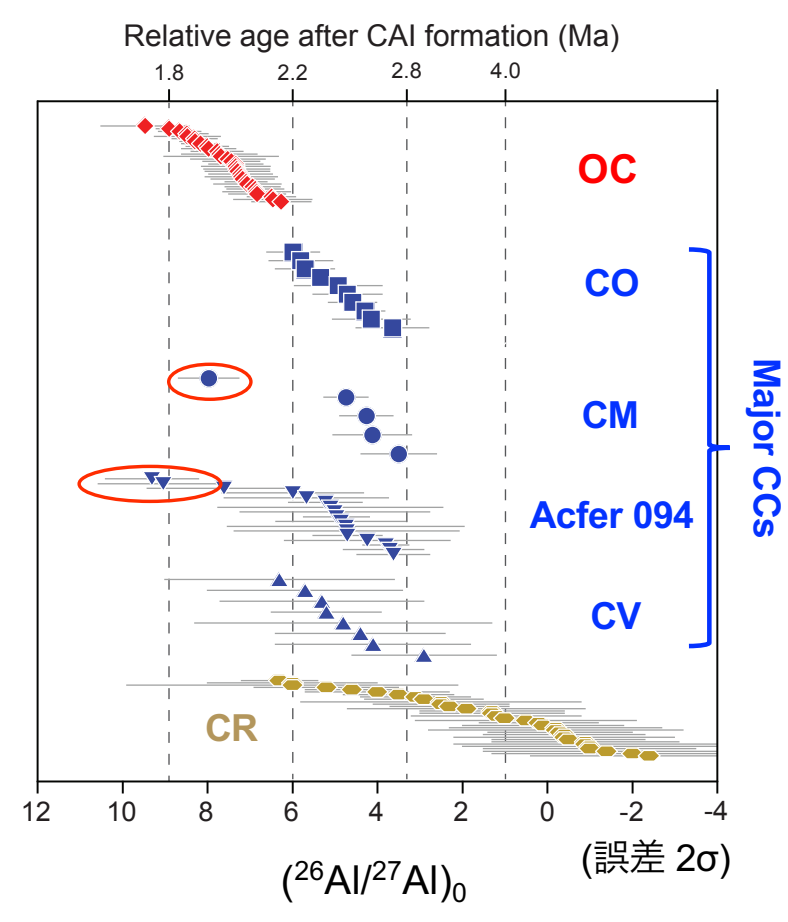
A184: CAI形成後~255 ± 15 万年



>40万年の年代差を示すコンドルールが同一隕石母天体に集積

14/23

## 隕石グループ毎のコンドルールAI-Mg年代



Data sources: [1] Siron+(2021) *GCA*, [2] Siron+ (2022) *GCA*,

[3] Ushikubo+(2013) GCA, [4] Hertwig+(2019) GCA, [5] Nagashima+(2017) GCA,

[6] Nagashima+ (2014) GeocJ, [7] Schrader+(2017) GCA,

[8] Tenner+(2019) GCA [9] Fukuda+(2022) GCA,

#### OCコンドルール (N = 31)

● CAI形成後~180-220万年に形成

Siron+(2021, 2022) GCA

#### 主要なCCコンドルール (N = 40)

- OCコンドルールよりも遅れて形成 (~220-280万年)
- OCコンドルールと同時期に形成したものもある

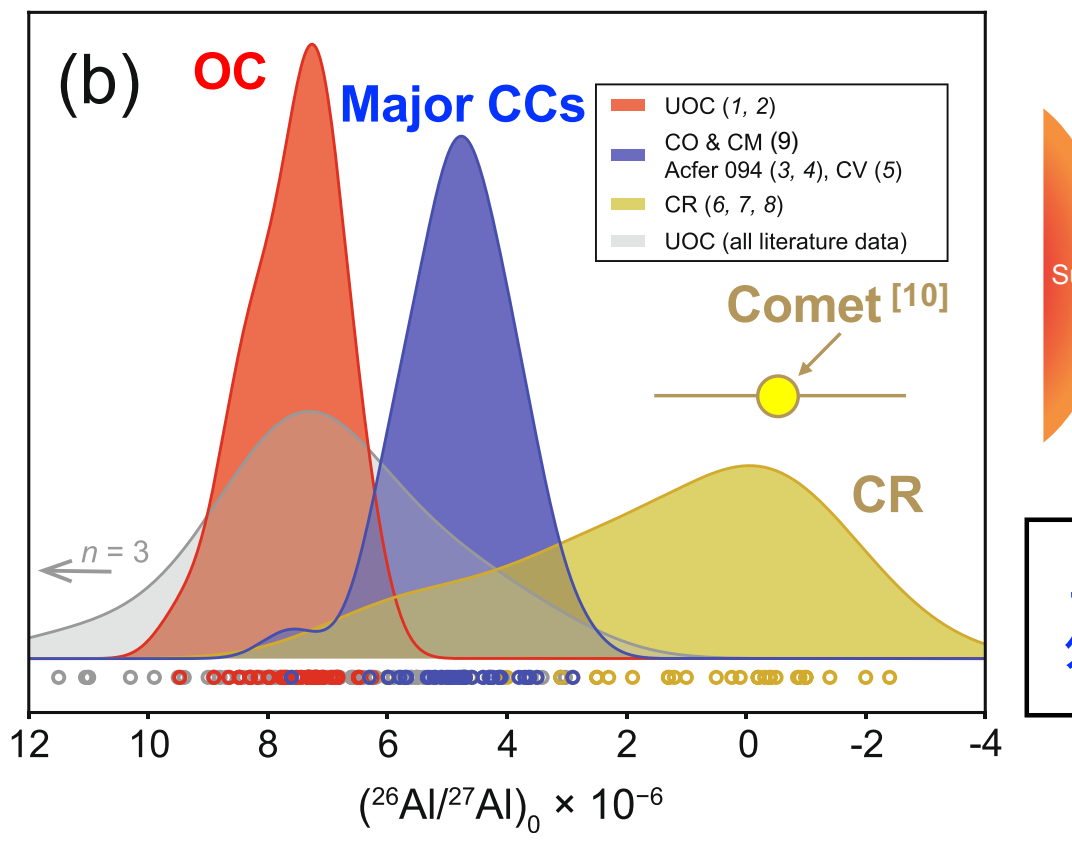
e.g., Fukuda+(2022) GCA

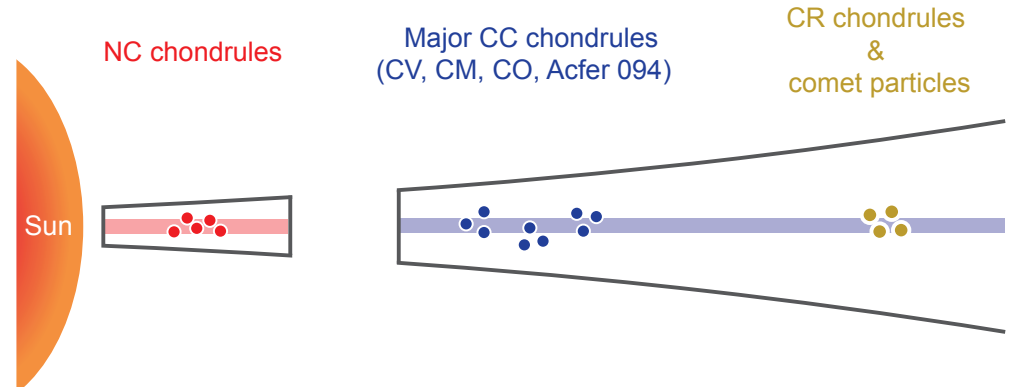
#### CRコンドルール (N = 33)

● 主要なCCよりも遅れて形成したものが多い (年代ピーク~360万年)

Nagashima+(2014) GCA; Schrader+(2017) GCA; Tenner+(2019) GCA

## 隕石グループ毎のコンドルールAI-Mg年代





コンドルールの形成は内側太陽系から 外側太陽系へと遷移した (Fukuda+2022.**GCA**)

Data sources: [1] Siron+(2021) **GCA**, [2] Siron+ (2022) **GCA**, [3] Ushikubo+(2013) **GCA**, [4] Hertwig+(2019) **GCA**, [5] Nagashima+(2017) **GCA**, [6] Nagashima+ (2014) **GeocJ**, [7] Schrader+(2017) **GCA**, [8] Tenner+(2019) **GCA**, [9] Fukuda+(2022) **GCA**, [10] Zhang+(2024) **ApJ** 

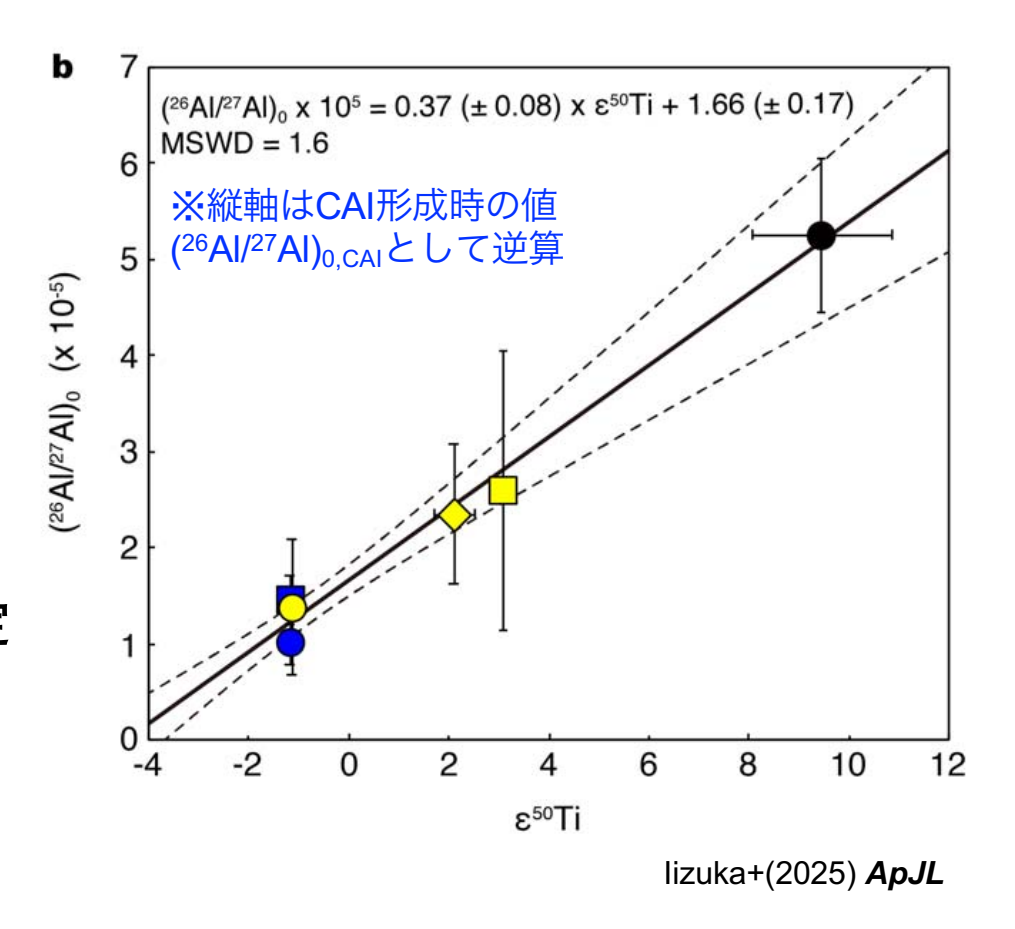
#### 原始太陽系円盤における26AIの分布

□ 同一物質の絶対年代(U-Pb)と Al-Mg年代間の不一致

e.g., Bollard+(2019) GCA; Connelly+(2023) ApJL

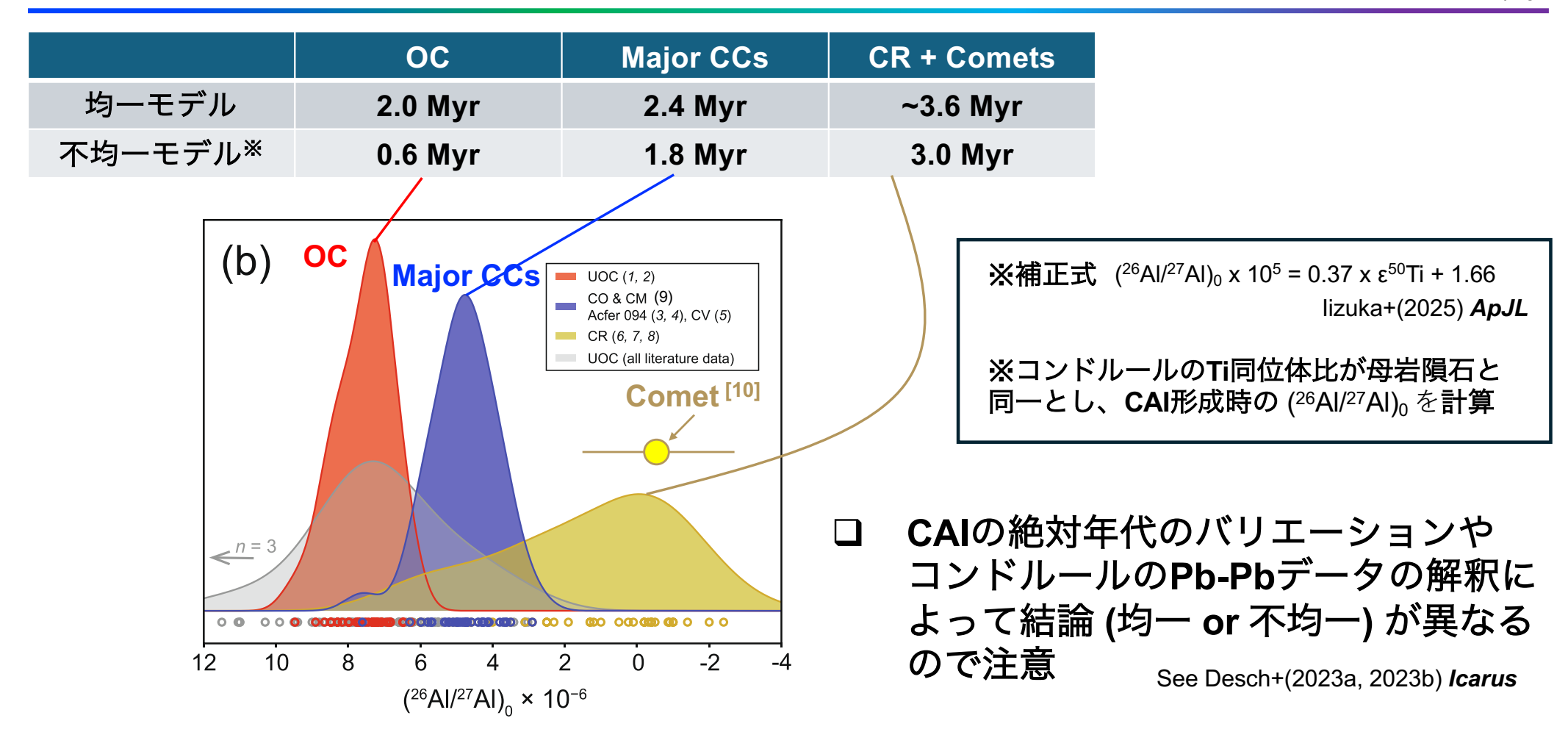
□ (<sup>26</sup>AI/<sup>27</sup>AI)<sub>0</sub>と同位体異常が相関
→ (<sup>26</sup>AI/<sup>27</sup>AI)<sub>0</sub>と同位体異常の同時決定に基づいた年代補正

lizuka+(2025) ApJL



## (preliminary) Ti同位体を用いたAl-Mg年代の補正

17/23



Data sources: [1] Siron+(2021) **GCA**, [2] Siron+ (2022) **GCA**, [3] Ushikubo+(2013) **GCA**, [4] Hertwig+(2019) **GCA**, [5] Nagashima+(2017) **GCA**, [6] Nagashima+ (2014) **GeocJ**, [7] Schrader+(2017) **GCA**, [8] Tenner+(2019) **GCA**, [9] Fukuda+(2022) **GCA**, [10] Zhang+(2024) **ApJ** 

#### **Outline**

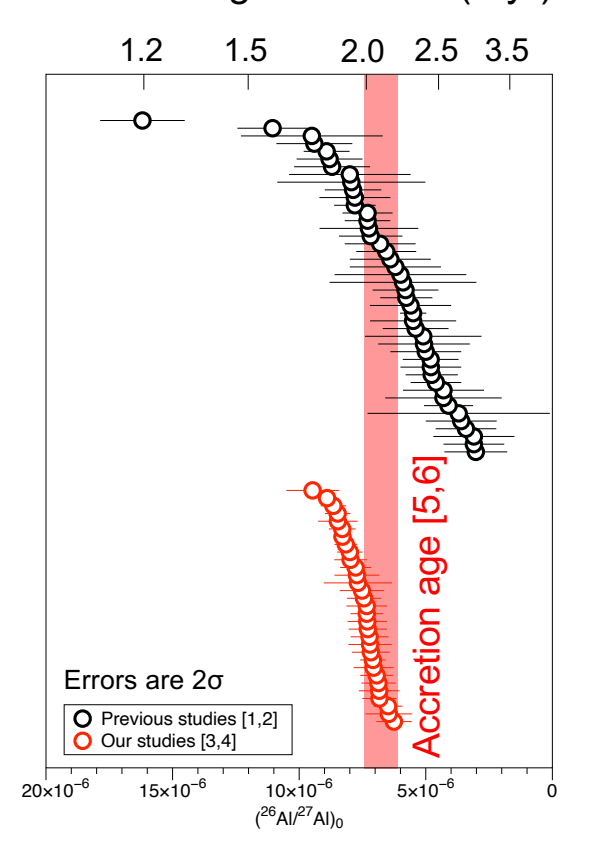
1. コンドルールの形成領域: 安定同位体比からの示唆

2. コンドルールの形成年代: Al-Mg年代からの制約

- 3. コンドルール形成と母天体集積の関連
  - ・コンドルール形成から母天体集積までのタイムスケール
  - ・円盤外側方向のダスト輸送

#### OCコンドルールの形成年代と母天体集積年代





- □ 熱変成に敏感なガラスを含めた分析 (CAI形成後120-300万年)<sup>[1,2]</sup>
  - → 180万年間の継続的コンドルール形成

母天体形成よりも遅いコンドルール形成?

- □ 熱変成度の極めて低い始原的な隕石中コンドルール の斜長石を分析 (CAI形成後180-220万年) <sup>[3,4]</sup>
  - → 短期的コンドルール形成 **(40**万年)
- □ 若いコンドルールの年代は集積年代と一致

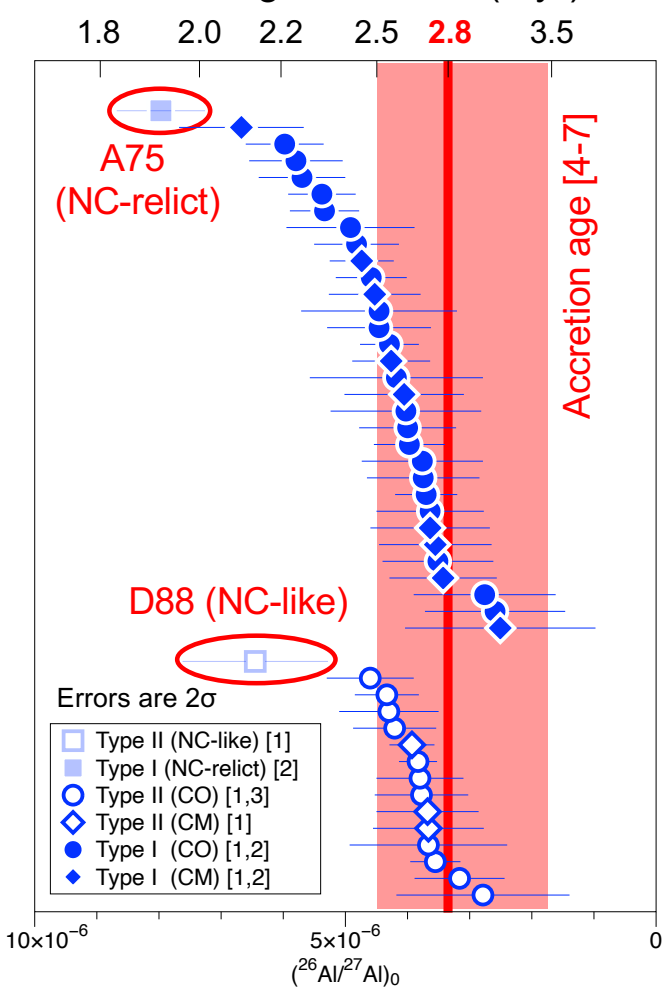
(200-225万年 [5,6])

→ コンドルール形成後の早期母天体集積を示唆 [7]

- [1] Villeneuve+(2009) Science [2] Pape+(2019) GCA [3] Siron+(2021) GCA [4] Siron+(2022) GCA [5] Sugiura & Fujiya (2009) MAPS
- [6] Edwards & Blackburn (2020) SciAdv [7] Alexander+(2008) Science

## CM・COコンドルールの形成年代と母天体集積年代

Relative age after CAI (Myr)



- □ Type I (Mg#>90)とtype II (Mg#<90)の年代は重複
  - → 還元的 (IW -3.5)、酸化的 (IW -2 ~ -1) 環境が共存 Ushikubo+(2012) **GCA**
- □ Type I (Mg#>90)形成が先行
  - → 還元的環境がより長期間存在

Fukuda+(2024) Metsoc Abstract

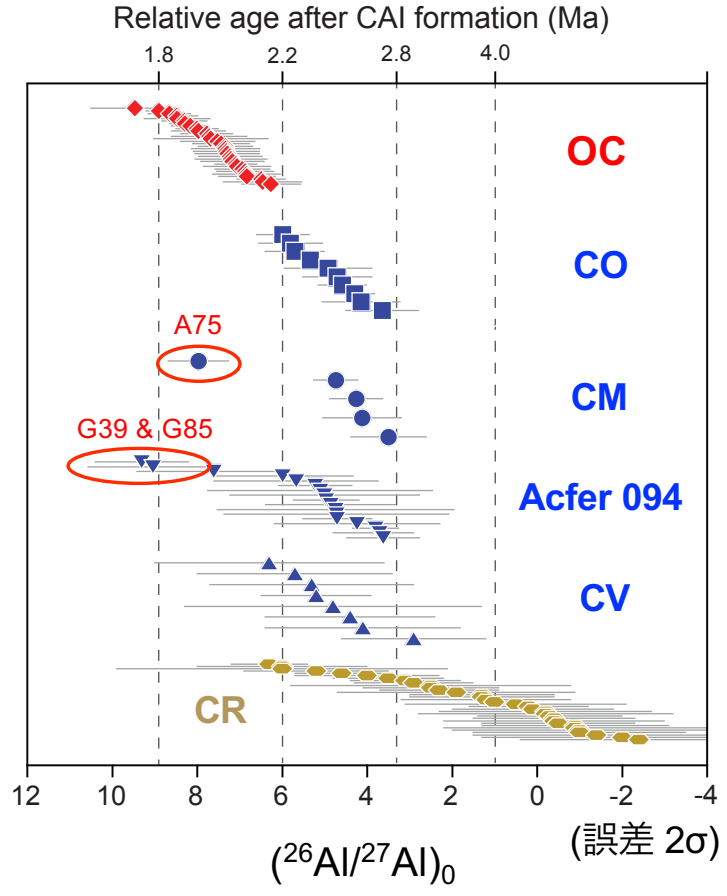
- コ 若いコンドルールの年代は<u>集積年代</u>と重複 (250-350万年 <sup>[4-7]</sup>)
  - → Type IIコンドルール形成後の早期母天体集積

References: [1] Fukuda+(2024). *Metsoc Abst* [2] Fukuda+(2022). *GCA* [3] Kita+(2019). *LPSC* 

[4] Fujiya+(2012). *NatComn* [5] Fujiya+(2022). *ApJL* [6] Sugiura & Fujiya (2014). *MAPS* 

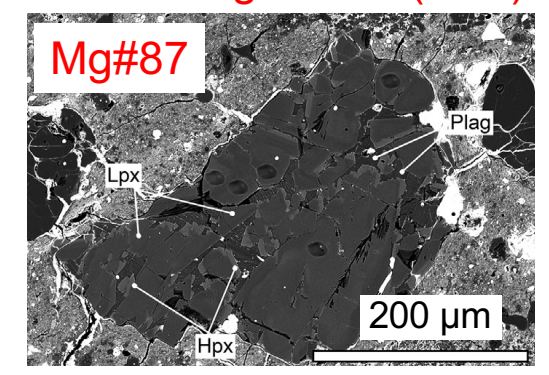
[7] Doyle+(2015). NatComn

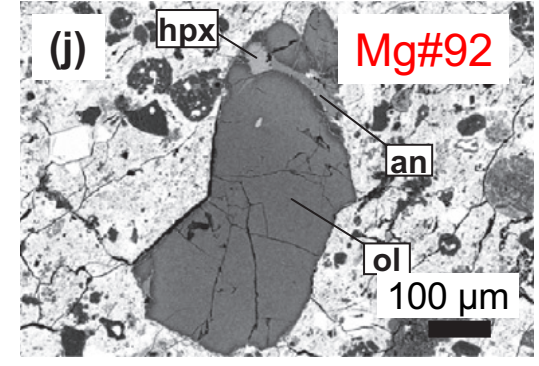
# CC隕石に見つかった古い年代を示すコンドルール



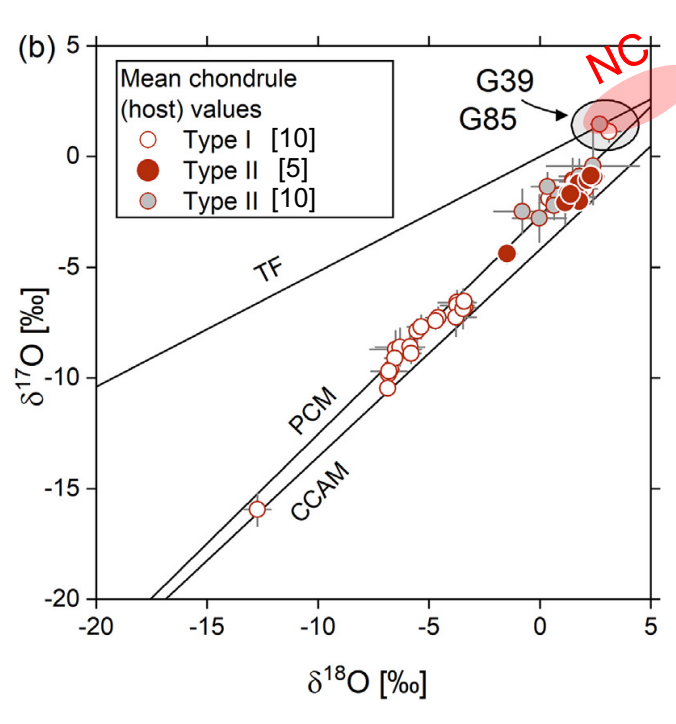
Data sources: [1] Siron+(2021) GCA, [2] Siron+ (2022) GCA, [3] Fukuda+(2022) **GCA**, [4] Ushikubo+(2013) **GCA**, [5] Hertwig+(2019) GCA. [6] Nagashima+(2017) GCA. [7] Nagashima+ (2014) GeocJ. [8] Schrader+(2017) GCA, [9] Tenner+(2019) GCA

#### NC-like Mg#- $\Delta^{17}$ O (G85)







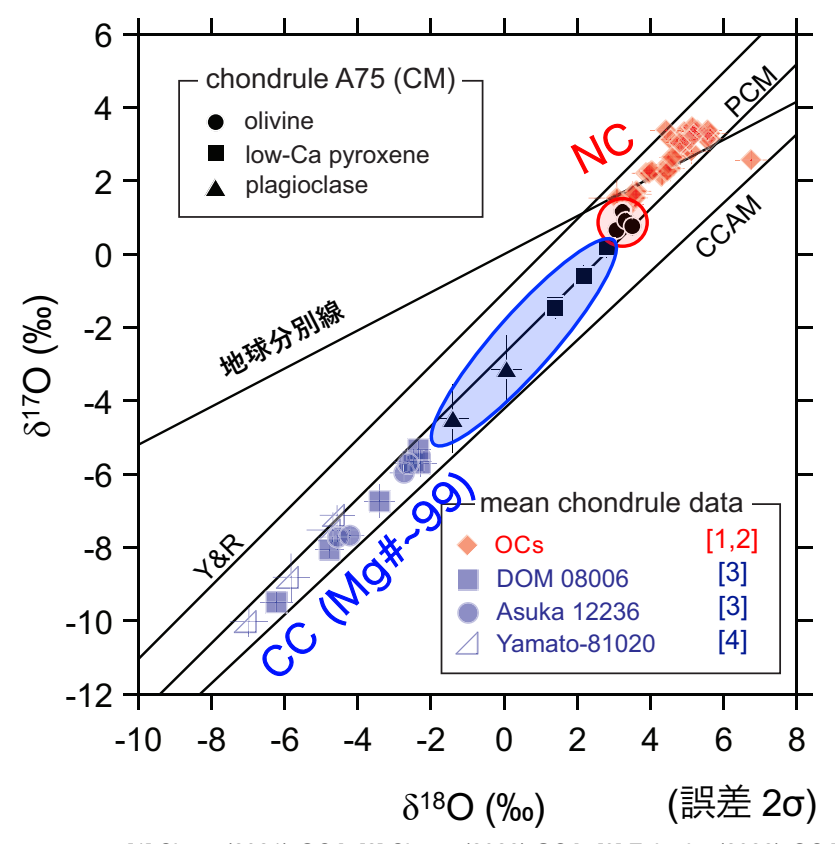


Data sources: [5] Hertwig+(2019) GCA [10] Ushikubo+(2012) GCA

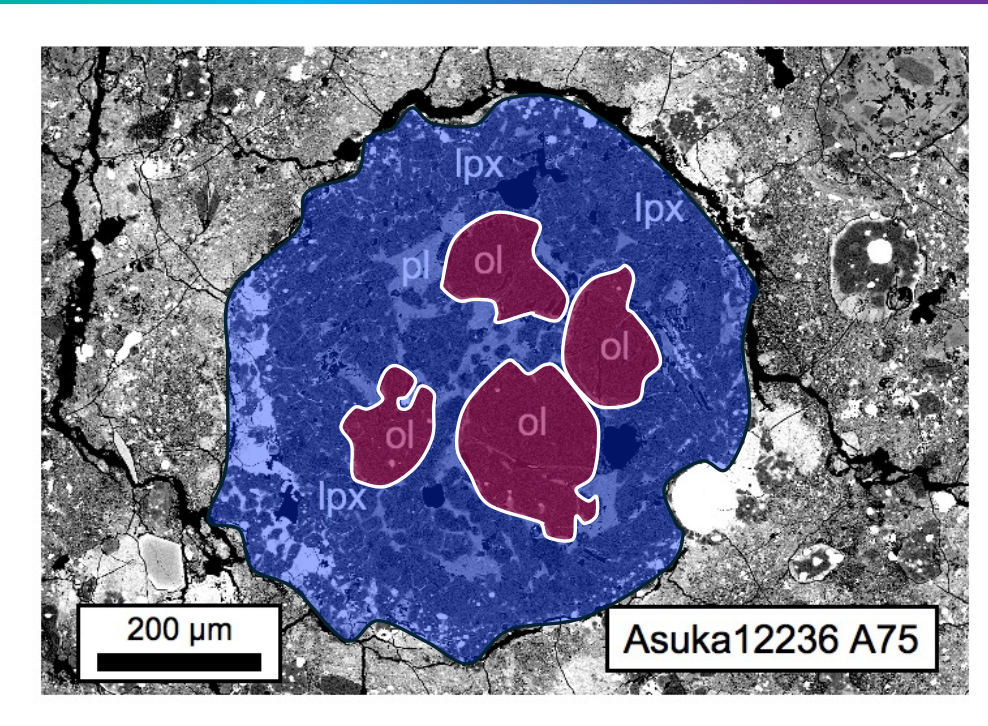
OCコンドルールの外側方向への輸送?

Hertwig+(2019) **GCA** 

#### NCレリクト物質を含むCCコンドルール



Data sources: [1] Siron+(2021) *GCA*, [2] Siron+ (2022) *GCA*, [3] Fukuda+(2022) *GCA*, [4] Tenner+(2013) *GCA*,



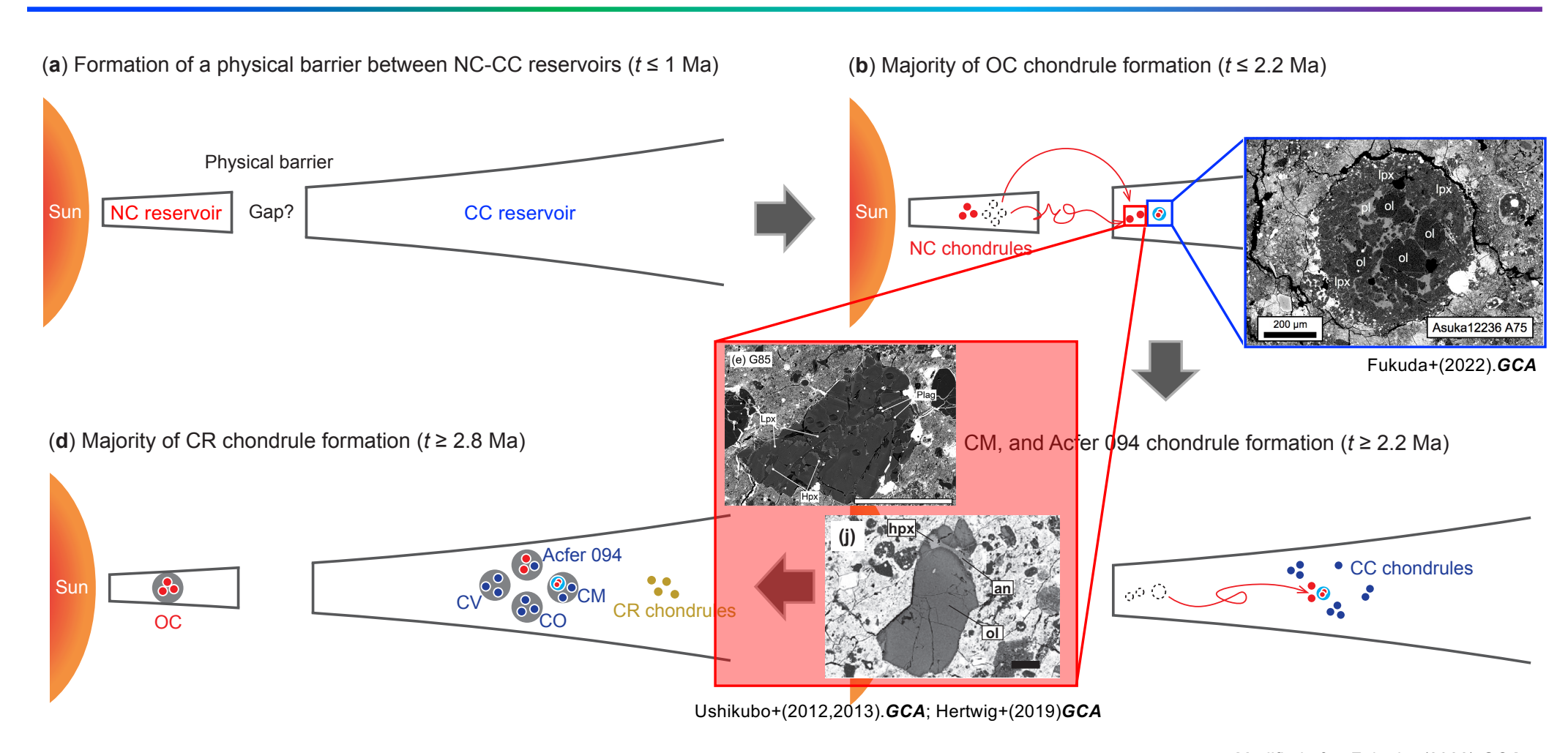
 $(^{26}AI/^{27}AI)_{0,plag} = (8.0\pm0.7)\times10^{-6}$ 

再溶融の時期: CAI形成後192(±9)万年

NC物質の外側輸送 → 再溶融

Fukuda+(2022) *GCA* 

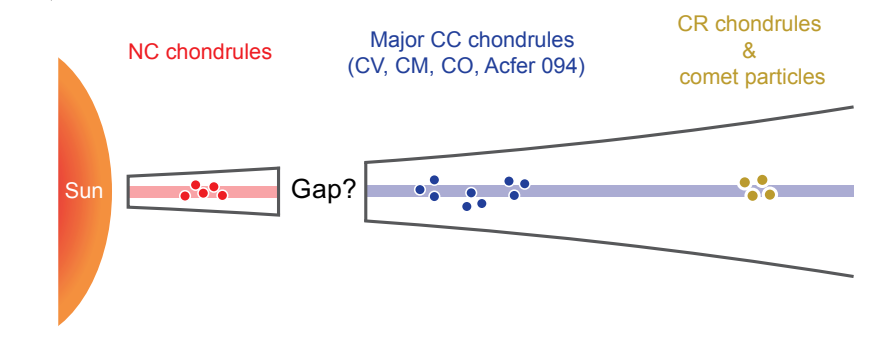
### コンドルールの形成・輸送・集積



Modified after Fukuda+(2022) GCA

#### まとめ

- □ コンドルールの時空間分布は、原始太陽系円盤におけるダスト/ガス比や酸化還元状態の時空間変動、および微惑星の材料物質形成から集積のタイムスケール、円盤内固体物質輸送を明らかにする上で重要
- □ コンドルールの形成領域は隕石グループ毎に 固有であった可能性



- □ コンドルールの形成時期は隕石グループ毎に異なっており、円盤の内側からはじまり、次第に外側へと遷移した
- NC-likeコンドルールがCC隕石に存在→ 円盤外側方向へのコンドルール輸送機構が存在?